



COMUNE DI FOGGIA



PROGETTO DEFINITIVO

– PROGETTO AGROFOTOVOLTAICO –

**IMPIANTO DI PRODUZIONE ELETTRICA DA FONTE RINNOVABILE DI TIPO
FOTOVOLTAICO INTEGRATO DA PROGETTO DI RIQUALIFICAZIONE AGRICOLA**

Committente:

Grupotec Solar Italia 7 s.r.l.

Via Statuto, 10
20121 Milano (MI)



StudioTECNICO
Ing. Marco G Balzano

Via Canello Rotto, 3
70125 BARI | Italy
+39 331.6794367
www.ingbalzano.com



Spazio Riservato agli Enti:

REV	DATA	ESEGUITO	VERIFICA	APPROV	DESCRIZ
R0	12/01/2022	Geol. De Giorgio	Geol. Gigante	MBG	Prima Emissione

Numero Commessa:

SV615

Data Elaborato:

12/01/2022

Revisione:

R0

Titolo Elaborato:

Relazione di compatibilità geologica e geotecnica

Progettista:

ing. Marco G. Balzano

Ordine degli Ingegneri della Provincia di Bari n.9341
Professionista Antincendio Elenco Ministero degli Interni BA09341101837
Consulente Tecnico d'Ufficio (CTU) Tribunale Bari

Elaborato:

V.05

Sommario

1. PREMESSA.....	2
2. NORMATIVA DI RIFERIMENTO.....	3
3. UBICAZIONE DELL'AREA	4
4. LINEAMENTI GEOLOGICI E LITOSTRATIGRAFICI DELL'AREA DI STUDIO.....	6
5. GEOMORFOLOGIA ED IDROGRAFIA DEL TERRITORIO	9
6. LINEAMENTI IDROGEOLOGICI.....	12
7. INDAGINI GEOGNOSTICHE INDIRETTE E DIRETTE REALIZZATE	13
8. IL MODELLO GEOLOGICO DEL SOTTOSUOLO	15
8.1 STENDIMENTO AA'	15
8.2 STENDIMENTO BB'	17
8.3 STENDIMENTO CC'	19
8.4 CARATTERI GEOLOGICI SITO SPECIFICI	20
9. IL MODELLO GEOTECNICO DEL SOTTOSUOLO.....	21
10. CLASSIFICAZIONE DEL SOTTOSUOLO DI FONDAZIONE DEI SITI DI PROGETTO	25
10.1 DETERMINAZIONE DELLA CATEGORIA DI SOTTOSUOLO DELLO STENDIMENTO AA'	25
10.2 DETERMINAZIONE DELLA CATEGORIA DI SOTTOSUOLO DELLO STENDIMENTO BB'	26
10.3 DETERMINAZIONE DELLA CATEGORIA DI SOTTOSUOLO DELLO STENDIMENTO CC'	26
11. CARATTERIZZAZIONE ELASTICA DEI TERRENI DI FONDAZIONE.....	27
12. SISMICITÀ DELL'AREA	28
12.1 CLASSIFICAZIONE SISMICA.....	28
12.2 CATEGORIA DI SOTTOSUOLO E CONDIZIONI TOPOGRAFICHE (D.M. 17/01/2018)	28
12.2.1 <i>Categoria di sottosuolo di riferimento</i>	28
12.2.2 <i>Condizioni topografiche</i>	28
12.3 PERICOLOSITÀ SISMICA DI BASE	28
12.4 ACCELERAZIONE MASSIMA ATTESA IN SUPERFICIE.....	29
13. CONSIDERAZIONI CONCLUSIVE	31

1. Premessa

La presente relazione di **compatibilità geologica e geotecnica**, redatta dal sottoscritto dott. Geol. Giorgio De Giorgio a seguito dell'incarico conferito alla GeoMoniTek S.r.l. dallo STUDIO TECNICO Ing. Marco Balzano, integra la documentazione a corredo del *Progetto per la Realizzazione di impianto di produzione elettrica da fonte rinnovabile di tipo fotovoltaico integrato da progetto di riqualificazione agricola* da realizzare su lotto posizionato nel territorio comunale di Foggia, su cui verranno installati pannelli fotovoltaici e denominato **"SV615"**.

Lo studio è stato esteso oltre al sito su cui saranno installati i pannelli fotovoltaici anche alle aree interessate dalla realizzazione delle opere connesse e delle infrastrutture indispensabili alla perfetta funzionalizzazione dell'impianto su indicato, ossia l'elettrodotto di collegamento e la sottostazione di servizio.

In relazione a quanto riportato in premessa, nel presente documento sono inseriti gli studi geologici, geomorfologici, idrogeologici, sismici e geotecnici effettuati nell'area di progetto per definire la **compatibilità geologica e geotecnica dell'intervento nei confronti dei terreni in cui esso sarà inserito in relazione alle destinazioni e alle trasformazioni d'uso del suolo collegate alla realizzazione dell'intervento stesso.**

Per la realizzazione del modello geologico e del modello geotecnico di riferimento è stata realizzata una campagna di indagini geognostiche di tipo indiretto e diretto consistenti nell'esecuzione delle seguenti prove;

- realizzazione di n.3 tomografie sismiche per la valutazione della stratigrafia e dei caratteri tecnici dei litotipi costituenti gli strati superficiali del sottosuolo e interessati come terreno di fondazione delle strutture;
- realizzazione di n.3 indagini MASW (Multichannel Spectral Analysis of Surface Waves) per la definizione della categoria di sottosuolo di fondazione, come richiesto dall'attuale normativa vigente in materia antisismica e disciplinato dalle Nuove Norme Tecniche delle Costruzioni del 2018;
- realizzazione di n.1 prova penetrometrica dinamica super pesante (Dynamic Probing Super Heavy).

Le prove sono state inoltre integrate dall'analisi della bibliografia esistente e dalla prospezione geologica e geomorfologica di superficie.

2. Normativa di riferimento

Nella redazione della presente relazione è stata presa in considerazione la vigente normativa tecnica italiana, ed in particolare, le seguenti disposizioni:

- D.M. 17 gennaio 2018: "Norme tecniche per le costruzioni" (G.U. del 20 febbraio 2018 Suppl. Ordinario n.42) e Circolare Applicativa C.S.LL.PP. 21 gennaio 2019 n.7: "Istruzioni per l'applicazione dell'aggiornamento delle norme tecniche per le costruzioni, di cui al decreto ministeriale 17 Gennaio 2018" (G.U. n.35 del 11 febbraio 2019 - Suppl. Ordinario n.5);
- D.G.R. 15 settembre 2009 n.1626: "D.M. 14.01.2008 - Norme tecniche per le costruzioni. Disposizione in merito alle procedure da adottare in materia di controlli e/o autorizzazioni, ai sensi e per gli effetti di cui agli artt. 93 e 94 del D.P.R. n. 06.06.2001, n. 380 e s.m.i." (Boll. Uff. Regione Puglia n.151 del 29.9.2009);
- Piano di Assetto Idrogeologico (PAI) dell'Autorità di Bacino della Puglia (12/11/04 e nota 25/CT del 15/12/04), in vigore dal Dicembre 2005;
- OPCM n.3274 del 20 marzo 2003: "Primi elementi in materia di criteri generali per la classificazione sismica del territorio nazionale e di normative tecniche per le costruzioni in zona sismica" successive modificazioni e collegata normativa regionale;
- Piano Urbanistico Territoriale Tematico / Paesaggio (PUTT/P), approvato con Del. GR. n.1748 del 15 dicembre 2000, in adempimento di quanto disposto dalla legge n. 431 del 8 Agosto 1985 e dalla legge regionale n.56 del 31 Maggio 1980.
- Piano Paesaggistico Territoriale Regionale della Puglia (PPTR), adottato con Del. GR n.1435 del 2 agosto 2013 (Boll. Uff. Regione Puglia n.108 del 06.08.2013).

Inoltre, la presente relazione è stata redatta tenuto conto di quanto espresso dal Piano di Assetto Idrogeologico (PAI) dell'Autorità di Bacino della Puglia (12/11/04 e nota 25/CT del 15/12/04), dal Piano di Tutela delle Acque (deliberazione della Giunta Regionale n. 883 del 19.06.2007) e dagli strumenti urbanistici e di tutela operanti sul territorio.

3. Ubicazione dell'area

L'area interessata dall'opera in parola è situata nella zona settentrionale del Comune di Foggia (Fg), nell'area interna del Tavoliere delle Puglie.

Nelle seguenti immagini si riporta la cartografia di riferimento con ubicazione dell'area interessata dalle opere:

- Stralcio della Carta Topografica d'Italia IGMI: F°164 IV SO "Borgo Duanera La Rocca": fonte: www.sit.puglia.it (fig. 1a);
- Immagine satellitare anno 2015; fonte: www.sit.puglia.it (fig. 1b).
- Carta Tecnica Regionale elemento 408033 della Regione Puglia (fig. 1c).

Inoltre il sito ricade nel Foglio 408 "Foggia" della Carta Geologica d'Italia alla scala 1:50.000. Il sito in cui saranno installati gli impianti fotovoltaici è caratterizzato da una superficie sub-pianeggiante che si eleva a circa 40-50 metri s.l.m.,

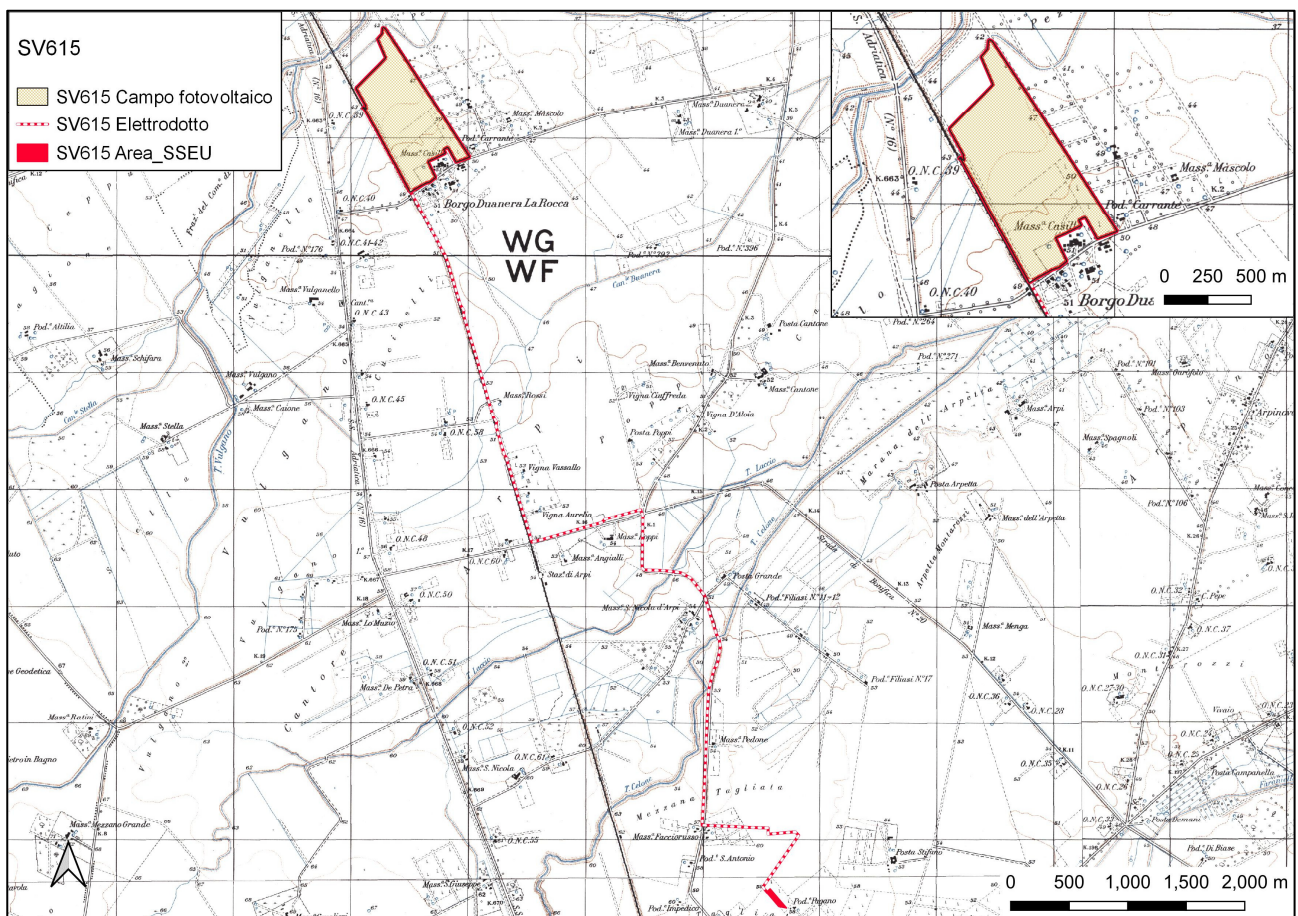


Fig. 1a - Stralcio delle Tavolette IGMI F°164 IV SO "Borgo Duanera La Rocca". Fonte: www.pcn.minambiente.it.

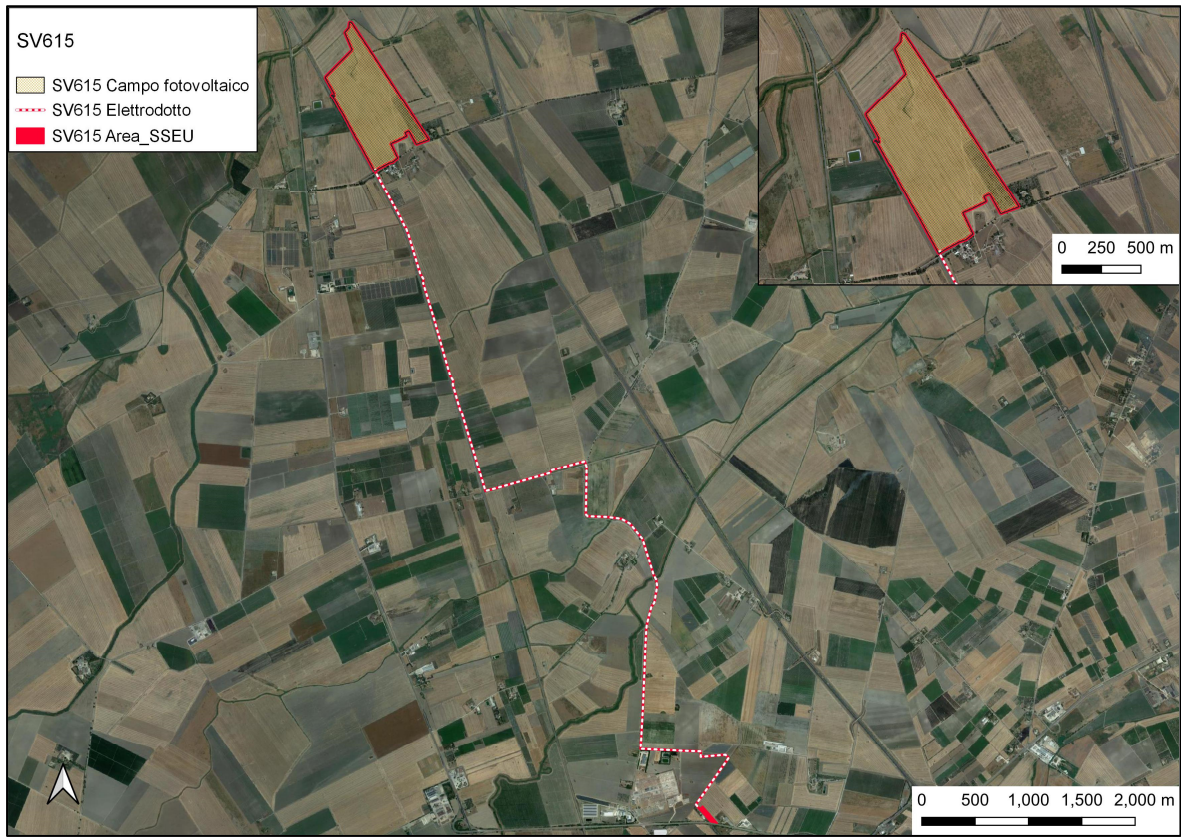


Figura 1b - Ubicazione del sito su Immagine satellitare del 2015. Fonte: www.sit.puglia.it

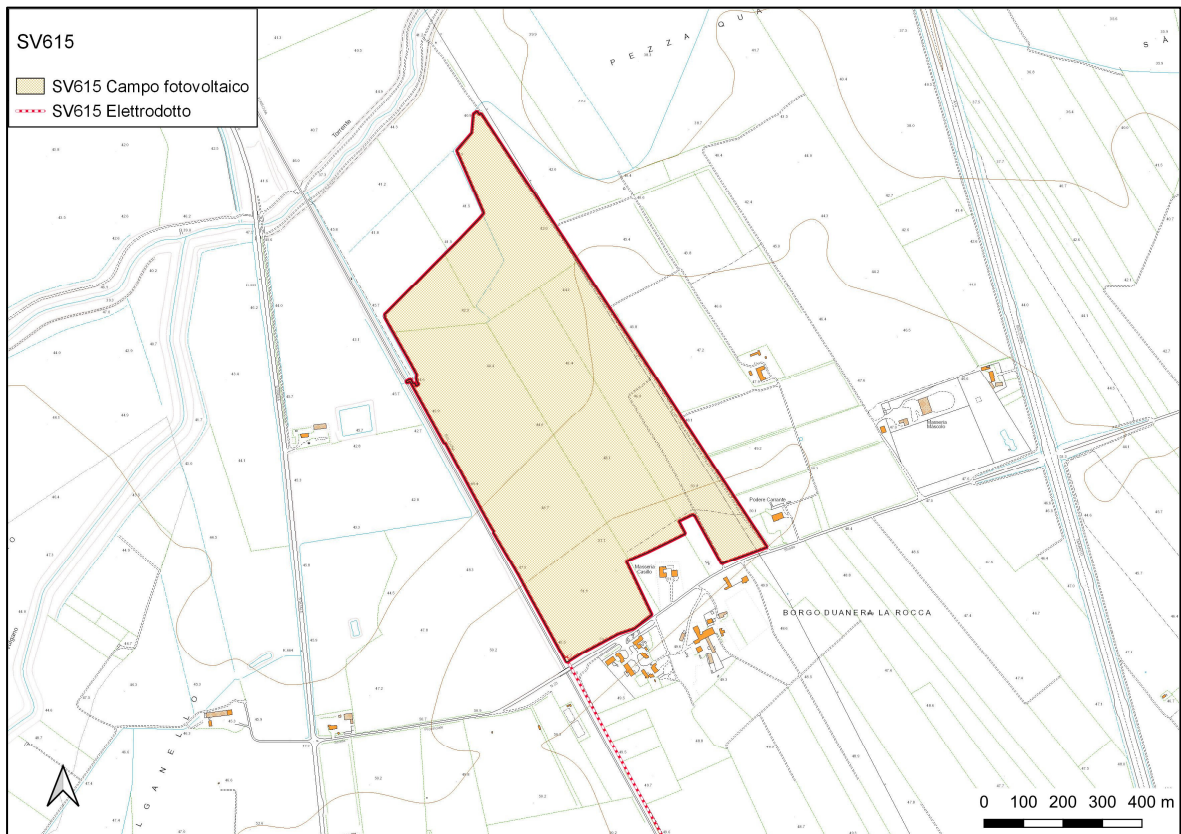


Figura 1c - Ubicazione del sito su CTR Regionale. Fonte: www.sit.puglia.it

4. Lineamenti geologici e litostratigrafici dell'area di studio

L'area in esame risulta inserita nella piana del Tavoliere delle Puglia, unità geografica appartenente al dominio geostrutturale dell'avanfossa bradanica, e costituita da depositi silicoclastici di riempimento di età pliocenica e infrapleistocenica e da depositi marini e alluvionali delle coperture medio-supra pleistoceniche e oloceniche della piana. Tali depositi, rinvenuti nel sottosuolo nel corso delle numerose perforazioni eseguite per la ricerca di idrocarburi, sono il prodotto dell'intensa attività sedimentaria, tipica di un bacino subsidente, che ha interessato l'Avanfossa appenninica a partire dal Pliocene inferiore. Si tratta di argille indicate con il generico termine di "Argille grigio azzurre" per via del loro colore tipico che, nella parte più superficiale, tende al giallastro a causa dei fenomeni di alterazione. All'interno della successione argillosa, sono presenti, a diverse altezze stratigrafiche, interstrati sabbiosi formanti corpi lenticolari di modesto spessore. La deposizione di questa unità litologica ha avuto inizio nel Pliocene e si è conclusa nel Pleistocene Superiore, ed il suo spessore risulta particolarmente elevato spingendosi fino a raggiunge diverse centinaia di metri. Al di sopra dell'unità delle Argille grigio azzurre si rinvengono i depositi Quaternari che vanno a costituire un'estesa copertura in grado di raggiungere o superare le decine di metri in potenza e sono rappresentati da un'alternanza lenticolare di sedimenti alluvionali ghiaiosi, sabbiosi e argillosi, in parte limosi, di facies continentale che si incrociano e anastomizzano di frequente. Questi rappresentano il risultato dei numerosi episodi deposizionali che hanno interessato il Tavoliere. Le alluvioni del Tavoliere contengono, nella parte più superficiale, una crosta evaporitica di natura calcarea, il cui spessore può raggiungere anche gli 8 o 10 metri e la cui genesi sarebbe riconducibile al fenomeno della risalita capillare e al clima fortemente arido che in passato ha caratterizzato l'area. Verso la costa, affiorano i depositi palustri e di colmata olocenici, costituiti essenzialmente da limi. Il quadro stratigrafico si completa con i depositi costieri, anch'essi dell'Olocene, costituiti da sabbie e ghiaie formanti una stretta spiaggia delimitata verso terra da cordoni dunari.

L'area oggetto di studio ricade, come detto in precedenza, nella zona centrale del Tavoliere, in corrispondenza della zona settentrionale del Foglio 408 "Foggia", area generalmente caratterizzata dalla presenza in affioramento di depositi recenti che vanno dal Pleistocene inferiore all'Olocene. All'interno di questi sedimenti, dall'analisi dei dati di perforazione, è stato possibile individuare importanti superfici di discontinuità, che hanno costituito la base per la suddivisione del record sedimentario in unità stratigrafiche a limiti inconformi di diverso rango gerarchico (SALVADOR, 1987, 1994) ed hanno permesso l'elaborazione dello schema stratigrafico riportato in figura 2.



Figura 2 – Schema dei rapporti stratigrafici del settore settentrionale del F°408 "Foggia" in cui ricade l'area di studio, indicata nel riquadro nero. Fonte: www.isprambiente.gov.it

Con riferimento allo schema dei rapporti stratigrafici presente in figura 2, è possibile evidenziare che il sito di progetto rientra nell'area sottesa dal bacino idrografico del *Torrente Salsola*, e nello specifico, risultano presenti in affioramento, sia

nell'area interessata dal campo fotovoltaico, che in quella lungo cui si svilupperà l'elettrodotta, le seguenti unità litostratigrafiche:

- Sintema di Foggia (TGF);
- Sintema di Motta del Lupo (TLP);
- Sintema di Masseria Finamondo (TPF);
- Depositi alluvionali (b).

Non affiorante, ma costituente il substrato su cui poggiano in contatto erosivo tutte le unità menzionate, è l'Unità delle Argille subappennine (ASP), il cui tetto si rinviene a profondità differenti in relazione alla zona interessata e caratterizzata nella zona di contatto, da alterazioni che la portano ad assumere una colorazione tendente al giallastro.

I tre sintemi elencati sono parte integrante del Supersintema del Tavoliere di Puglia, di età Calabriano-Olocene, che comprende in tutto 8 sintemi in genere alluvionali, che dal più antico al più recente sono posti ad altezze topografiche via via decrescenti sugli alvei attuali e poggiano in contatto erosivo sulle Argille subappennine o su depositi alluvionali più antichi.

Nel seguito si riportano le caratteristiche principali dei corpi sedimentari elencati, a partire dal più antico:

Argille Subappennine (ASP)

Questa unità è costituita da silt argillosi e marne siltose grigie a stratificazione poco evidente, con intercalazioni di argille siltose e di sottili strati di sabbia medio-fine.

Sintema di Foggia (TGF)

Depositi alluvionali terrazzati del V ordine costituiti da silt argillosi sottilmente laminati con intercalazioni di sabbie siltose. Nel sottosuolo si intercalano conglomerati poligenici ed eterometrici di spessore variabile. Lo spessore del sintema varia, in base alla zona, tra 10 e 40 metri.

Sintema di Motta del Lupo (TLP)

Depositi alluvionali terrazzati del VI ordine costituiti da sabbie fini alternate a peliti sottilmente stratificate. Lo spessore massimo del sintema è di circa 10 metri.

Sintema di Masseria Finamondo (TPF)

Depositi alluvionali terrazzati del VII ordine costituiti da sabbie fini alternate a peliti sottilmente stratificate. Lo spessore massimo del sintema è di circa 15 metri.

Depositi alluvionali (b)

Depositi alluvionali attuali presenti in corrispondenza degli alvei attivi e costituiti da ghiaie e sabbie.

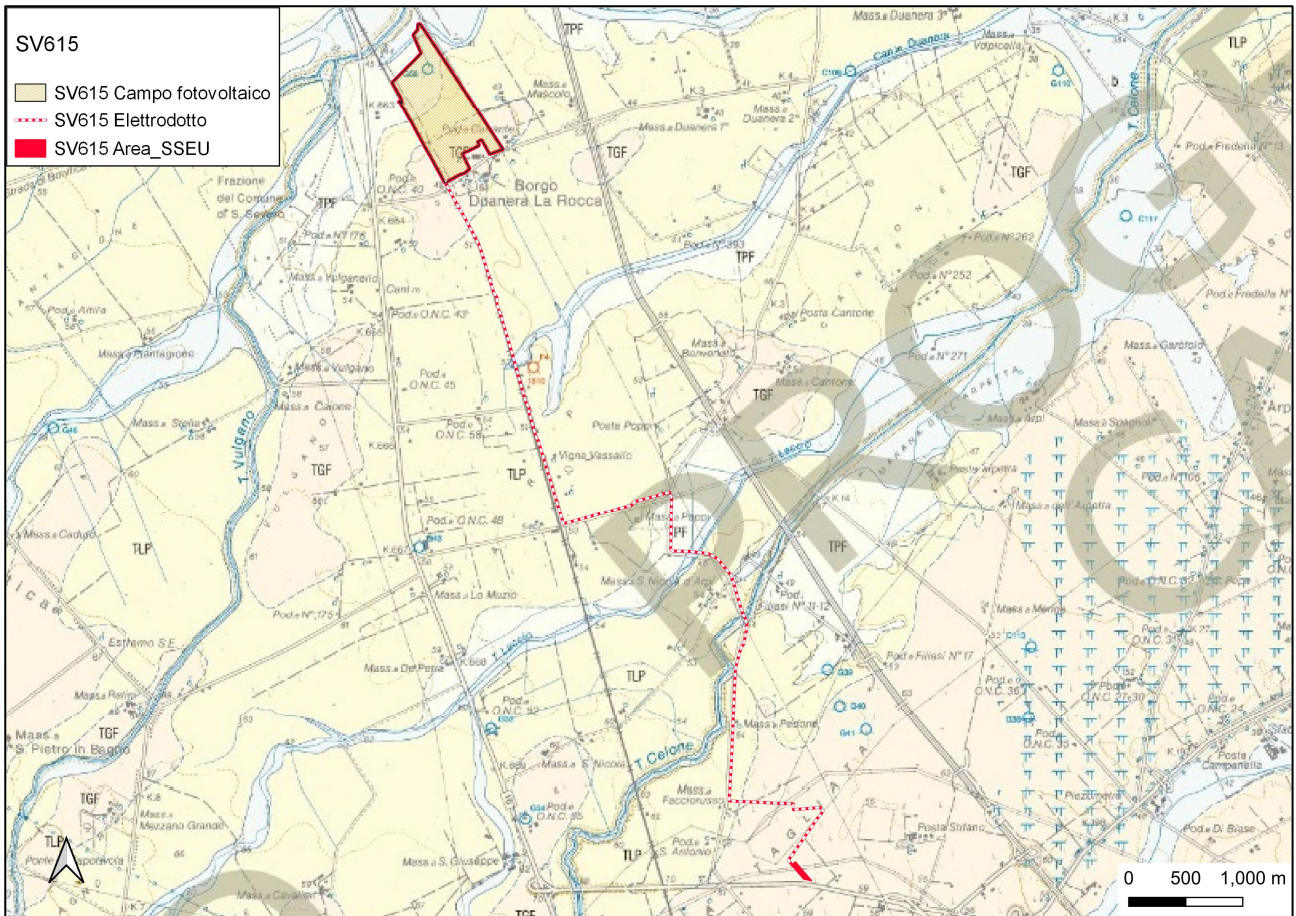


Figura 3 – Stralcio del Foglio 408 "Foggia" con indicazione dell'area in cui saranno installati i pannelli fotovoltaici e dell'elettrodotto
 Fonte: www.isprambiente.gov.it

5. Geomorfologia ed idrografia del territorio

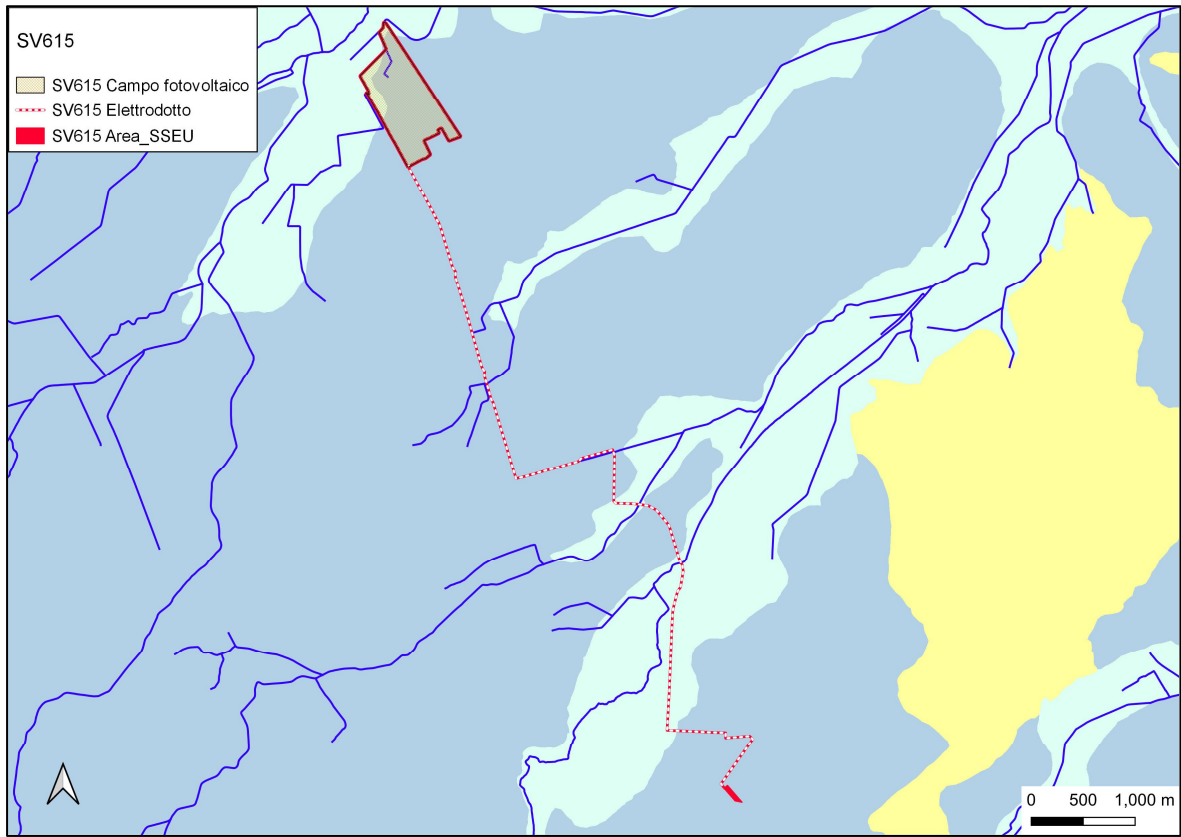
I caratteri morfologici e idrografici del sito di studio sono quelli tipici del Tavoliere delle Puglie, caratterizzato da una serie di superfici pianeggianti, più o meno estese, interrotte dai principali corsi d'acqua e da locali canali e/o marane a deflusso spiccatamente stagionale. In tali aree l'evoluzione dei caratteri morfologici è stata evidentemente condizionata dalla natura del substrato geologico presente; gli affioramenti topograficamente più elevati, in corrispondenza dei quali spesso sorgono i centri urbani, sono caratterizzati dalla presenza di una litologia più resistente all'azione modellatrice degli agenti esogeni, al contrario le aree più depresse sono la testimonianza di una litologia meno competente e quindi più facilmente modellabile. Nel complesso l'area di progetto non è interessata dalla presenza di fenomeni erosivi in senso lato né è soggetta a rapida evoluzione e rimodellamento morfologico (inteso esclusivamente in termini di agenti esogeni naturali), in quanto questo si esercita in forma marginale ed attenuata e del tutto trascurabile ai fini degli interventi previsti.

Il sito dove saranno installati i pannelli fotovoltaici è posizionato in destra orografica del Torrente Salsola, su un'area pianeggiante e leggermente digradante verso l'alveo del Torrente ed è incisa da canali artificiali per il drenaggio delle acque superficiali. L'elettrodotto invece, partendo dalla zona meridionale del sito, si svilupperà per circa 10,5 km in direzione sud, intersecando a circa 5 km il Torrente Laccio ed a circa 7,5 km, il Torrente Celone.

Il tracciato dell'elettrodotto interesserà per la quasi totalità della lunghezza complessiva i depositi sabbiosi, mentre nel tratto terminale ed in alcune zone di attraversamento dei suddetti impluvi invece, interesserà i depositi siltosi costituenti le alluvioni attuali. In quest'area l'idrografia superficiale presenta un regime tipicamente torrentizio, caratterizzato da lunghi periodi di magra interrotti da piene che, in occasione di eventi meteorici particolarmente intensi, possono assumere un carattere rovinoso.

Per quanto attiene il reticolo idrografico inoltre, dall'analisi delle perimetrazioni del PAI Puglia presenti e visionabili sul sito dell'Autorità di Distretto dell'Appennino Meridionale è possibile osservare quanto segue.

L'area in cui saranno installati i pannelli fotovoltaici, indicata in figura dal retino rosso, è interessata da perimetrazioni di pericolosità idraulica nella zona settentrionale, in corrispondenza delle canalizzazioni artificiali presenti (Fig.4). Per quanto concerne il tracciato su cui si sviluppa l'elettrodotto invece, è possibile osservare che sarà interessato da zone a pericolosità idraulica in corrispondenza degli attraversamenti dei torrenti anzidetti (Laccio e Celone) e nel tratto terminale. La sottostazione di servizio infine, è posizionata in una zona a media pericolosità idraulica.



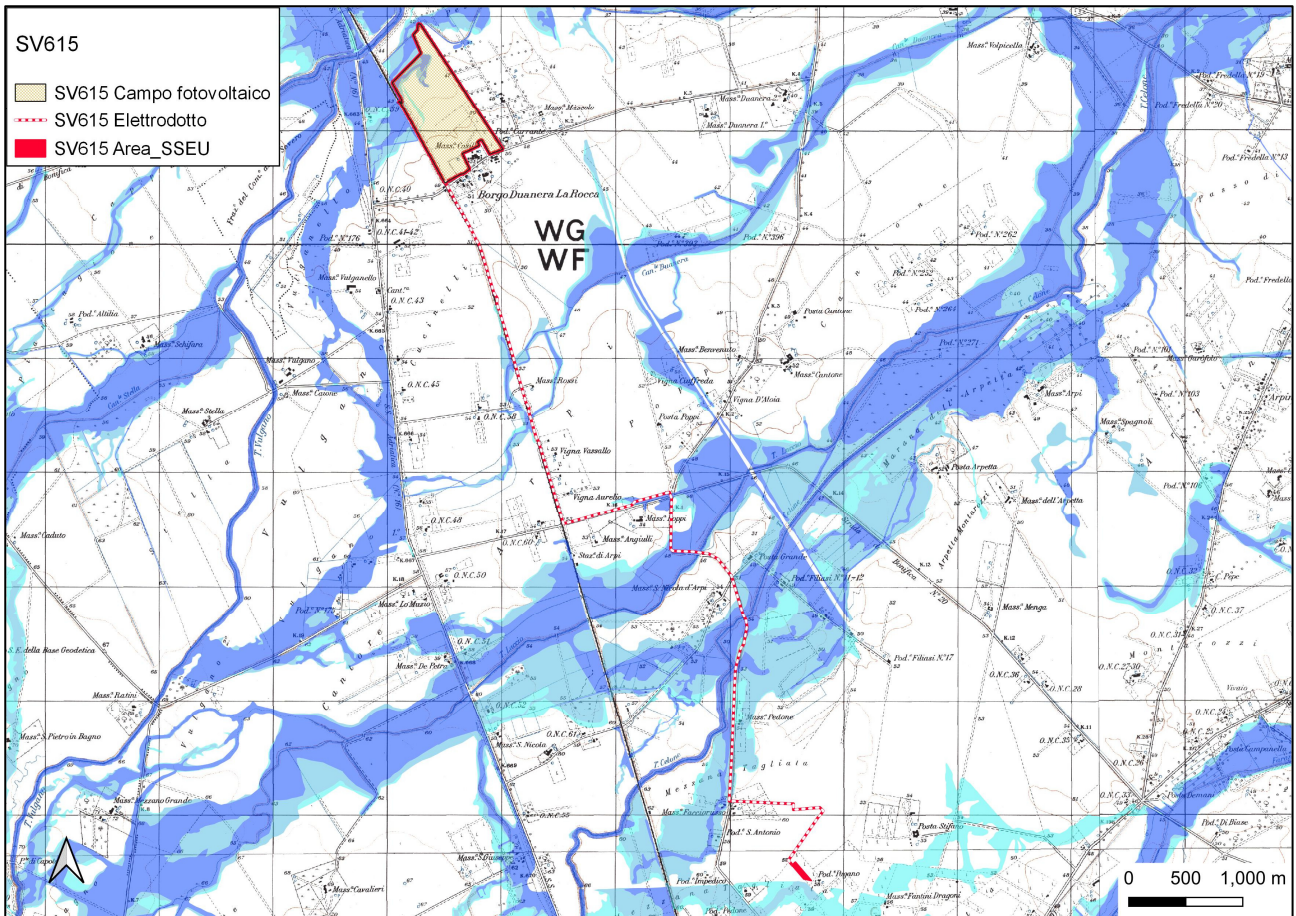


Fig. 4 a,b – Stralcio della Carta Idrogeomorfologica e della Cartografia del PAI Puglia con indicazione delle aree di intervento e delle strutture connesse(www.adb.puglia.it).

6. Lineamenti idrogeologici

Dal punto di vista idrogeologico, l'area di studio è interessata dalla presenza dell'acquifero poroso superficiale del Tavoliere, la cui falda è ospitata nei depositi quaternari di copertura di questa unità fisiografica.

Detti depositi, il cui spessore aumenta procedendo da SE verso NW, ospitano una estesa falda idrica generalmente frazionata su più livelli. Le stratigrafie dei numerosi pozzi per acqua realizzati in zona, evidenziano infatti l'esistenza di una successione di terreni sabbioso-ghiaioso, permeabili ed acquiferi, intercalati a livelli limo-argillosi a minore permeabilità, con ruolo di acquitardi.

La base della circolazione idrica è rappresentata dalle argille grigio-azzurre (argille subappennine) la cui profondità di rinvenimento risulta progressivamente maggiore procedendo da SE verso NW. I diversi livelli in cui l'acqua fluisce non costituiscono orizzonti separati ma idraulicamente interconnessi, dando luogo ad un unico sistema acquifero.

L'acqua si rinviene in condizioni di falda libera nei livelli idrici più superficiali e in pressione in quelli più profondi. A tale sistema acquifero, nel suo complesso, si dà il nome di falda superficiale del Tavoliere.

Trattandosi di un acquifero eterogeneo, sia in termini di spessore che di granulometria, la potenzialità, come pure la trasmissività idraulica, variano sensibilmente da zona a zona. L'andamento delle isopieze, ricostruite sulla base dei dati raccolti in un recente monitoraggio, mostra una generale corrispondenza con la topografia: le quote piezometriche, infatti, tendono a diminuire procedendo da SO verso NE consentendo di definire una direttrice di deflusso preferenziale in tal senso. Per le considerazioni su menzionate e per le caratteristiche dei litotipi che insistono nell'area oggetto di studio, questi ultimi rientrano nell'”**Acquifero poroso superficiale**”.

Nell'area di interesse, attualmente, sulla base delle indicazioni e delle cartografie redatte per il PTA. Il Piano di Tutela delle Acque, la superficie piezometrica della falda acquifera, in stato di quiete, è compreso tra 50 m slm e 25 m slm (Fig.5). In corrispondenza del sito di progetto, la falda, sulla base delle informazioni desunte da alcuni pozzi per il prelievo idrico presenti nel database dell'ISPRA, è posizionata a circa 15 metri di profondità dal piano campagna, e pertanto non dovrebbe interessare le strutture di fondazione su cui saranno installati i tracker dei pannelli fotovoltaici.

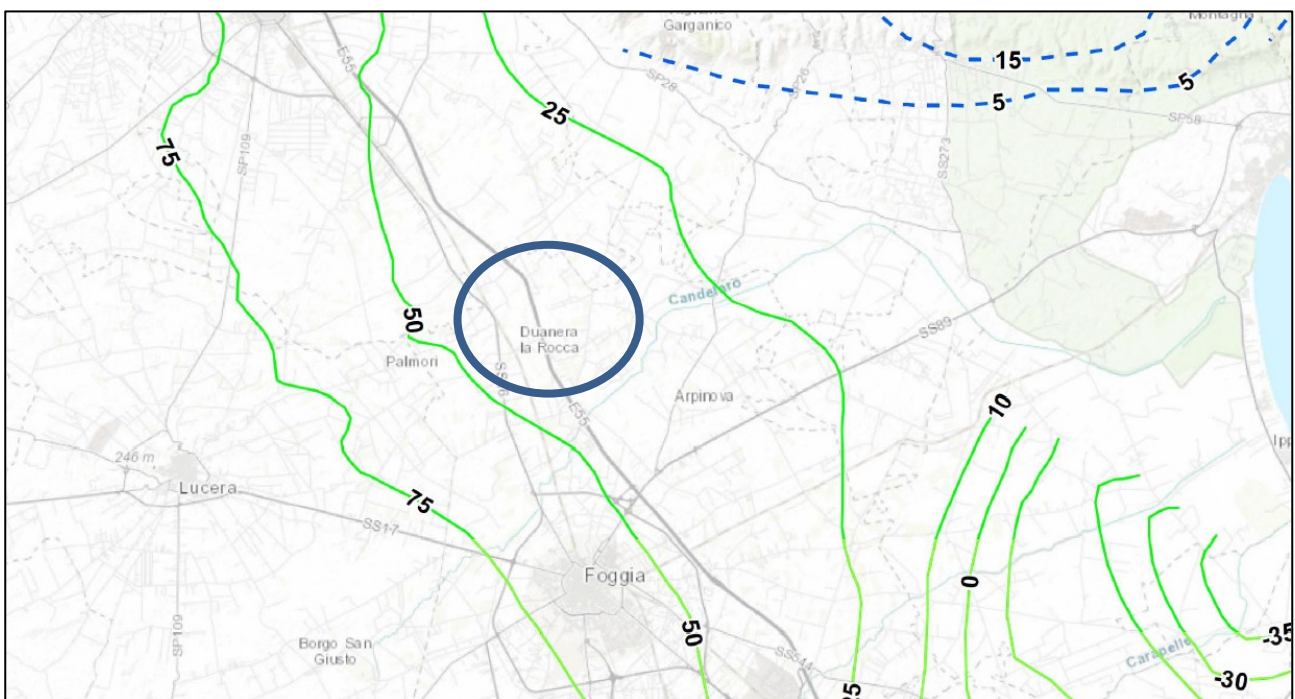


Figura 5 – Stralcio della carta dei carichi piezometri dell'acquifero poroso superficiale del Tavoliere delle Puglia.
(Fonte: Piano di Tutela delle Acque della Regione Puglia)

7. Indagini geognostiche indirette e dirette realizzate

La campagna di indagini geognostiche di tipo indiretto e diretto, come detto in premessa, è consistita nell'esecuzione delle seguenti prove;

- realizzazione di n.3 tomografie sismiche per la valutazione della stratigrafia e dei caratteri tecnici dei litotipi costituenti gli strati superficiali del sottosuolo e interessati come terreno di fondazione delle strutture;
- realizzazione di n.3 indagini MASW (Multichannel Spectral Analysis of Surface Waves) per la definizione della categoria di sottosuolo di fondazione, come richiesto dall'attuale normativa vigente in materia antisismica e disciplinato dalle Nuove Norme Tecniche delle Costruzioni del 2018;
- realizzazione di n.1 prova penetrometrica dinamica super pesante (Dynamic Probing Super Heavy).

L'indagine sismica è consistita nell'esecuzione di 3 profili di sismica a rifrazione onde P (AA' e BB' di lunghezza pari a 48 m, mentre CC' di lunghezza pari a 36 m) e di 3 acquisizioni di tipo M.A.S.W. (Multichannel Analysis of Surface Wave) effettuate sulla stessa traccia delle indagini tomografiche. I primi due stendimenti geofisici (AA' e BB') sono stati realizzati in corrispondenza del campo fotovoltaico mentre il terzo (CC') è stato realizzato in corrispondenza della sottostazione di servizio.

Il profilo di sismica a rifrazione AA' ha una lunghezza di 48 metri lineari con interspazio geofonico di 2.0 m, direttrice orientata E/W e i due punti estremi hanno le seguenti coordinate (WGS84 fuso 33 N):

A - 15.511385 E – 41.554886 N;

A' - 15.510912 E – 41.554877 N.

Il profilo di sismica a rifrazione BB' ha una lunghezza di 48 metri lineari con interspazio geofonico di 2.0 m, direttrice orientata SE/NW e i due punti estremi hanno le seguenti coordinate (WGS84 fuso 33 N):

B - 15.514930 E – 41.556304 N;

B' - 15.514451 E – 41.556354 N.

Il profilo di sismica a rifrazione CC' ha una lunghezza di 36 metri lineari con interspazio geofonico di 1.5 m, direttrice orientata SW/NE e i due punti estremi hanno le seguenti coordinate (WGS84 fuso 33 N):

A - 15.542000 E – 41.499912 N;

A' - 15.542344 E – 41.500091 N.

L'indagine diretta è invece consistita nella realizzazione di una prova penetrometrica Super Pesante (DYNAMIC PROBING SUPER HEAVY), spinta fino a 10.00 m dal piano campagna, la cui ubicazione è definita dalle coordinate geografiche di seguito riportate:

Lat.: 41.554977 N - Long.: 15.511425 E

L'ubicazione delle indagini è illustrata nella seguente figura:

8. Il modello geologico del sottosuolo

L'analisi interpretativa delle sezioni sismiche AA', BB' e CC' ha permesso di ricostruire l'andamento delle velocità delle onde P con la profondità, e di conseguenza interpretare in chiave geologica l'analisi sismostratigrafica, integrata inoltre dalle risultanze della prova penetrometrica.

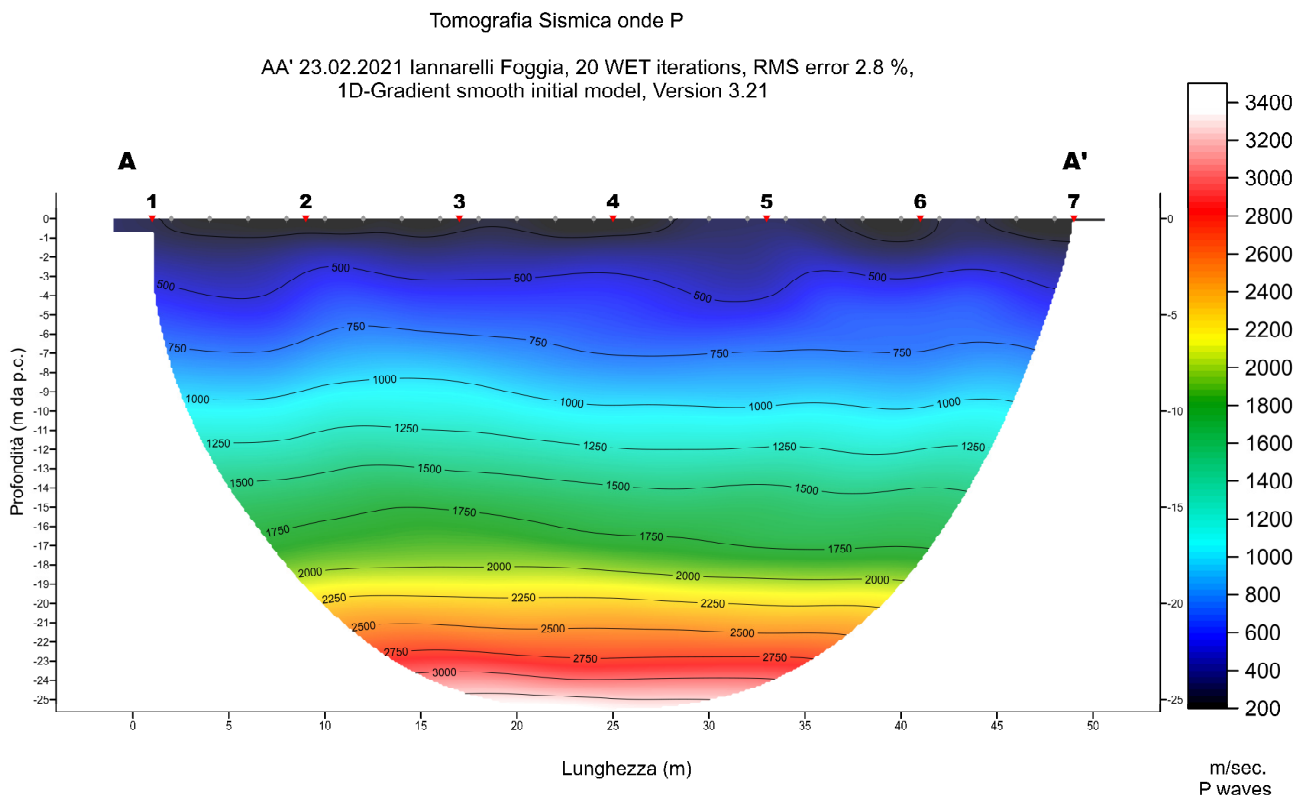
8.1 Stendimento AA'

Dal risultato dell'analisi sismica eseguita è possibile rilevare la presenza di **3 sismostrati** con differenti valori di velocità delle onde sismiche longitudinali P.

Il primo sismostrato (Sismostrato A), è caratterizzato da valori di velocità delle onde P compresi tra 100 e 250 m/s. La profondità risulta costante e si spinge fino a circa 1 metro di profondità dal piano campagna. Il sismostrato B invece, è caratterizzato da velocità delle onde P comprese tra 250 e 2000 m/s, che crescono in modo uniforme e continuo fino a raggiungere una profondità di circa 18/19 metri dal piano campagna. Il sismostrato C infine, è caratterizzato da valori di velocità delle onde P che aumentano gradualmente con la profondità fino a raggiungere la profondità investigata di circa 25 m dal p.c.

Assimilando i valori delle velocità di propagazione delle onde P alle litologie presenti nell'area come da indagini pregresse, in prima analisi si può affermare che il sismostrato superficiale è riferibile a depositi sabbioso e siltosi poco o debolmente coesi molto alterati (Unità A), il secondo sismostrato a depositi sabbioso-siltosi e siltosi debolmente coesi (Unità B), mentre il sismostrato C, è riferibile all'unità delle Argille subappennine.

Le acque di falda sembrano essere presenti a partire dai 10 metri di profondità e vengono sostenute alla base dalle argille subappennine.



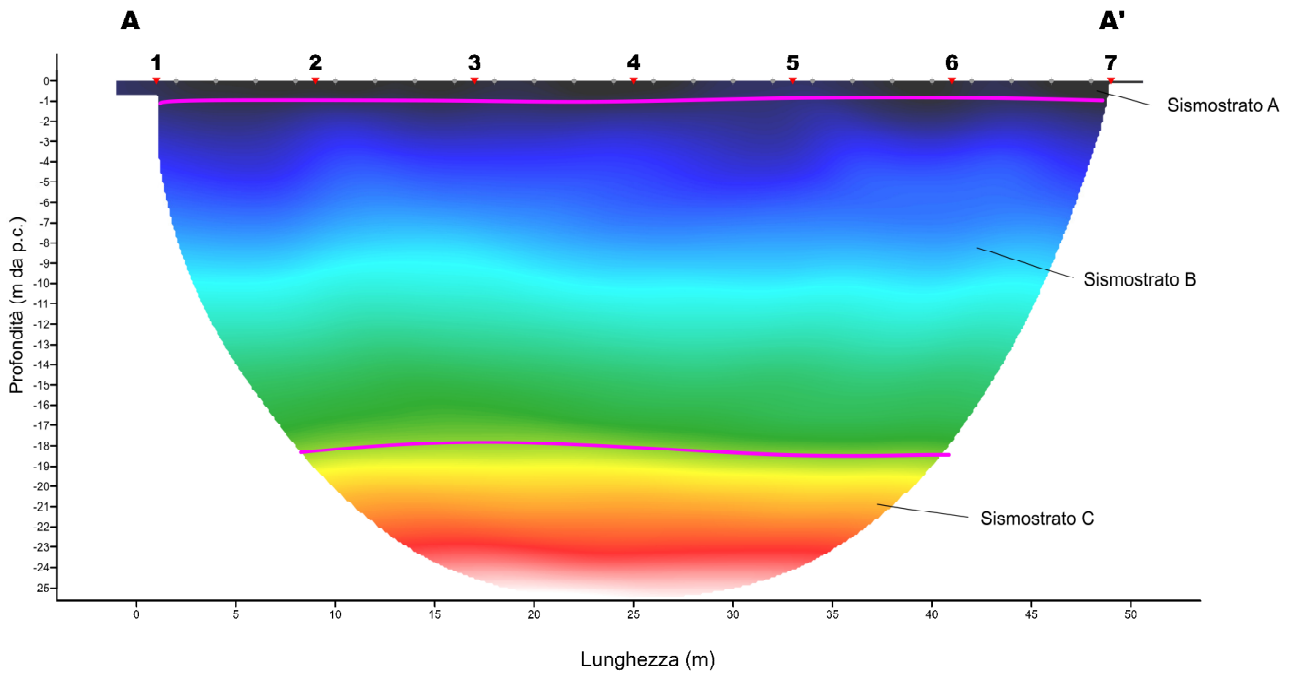


Fig. 7 – Interpretazione sezione tomografica del profilo AA'

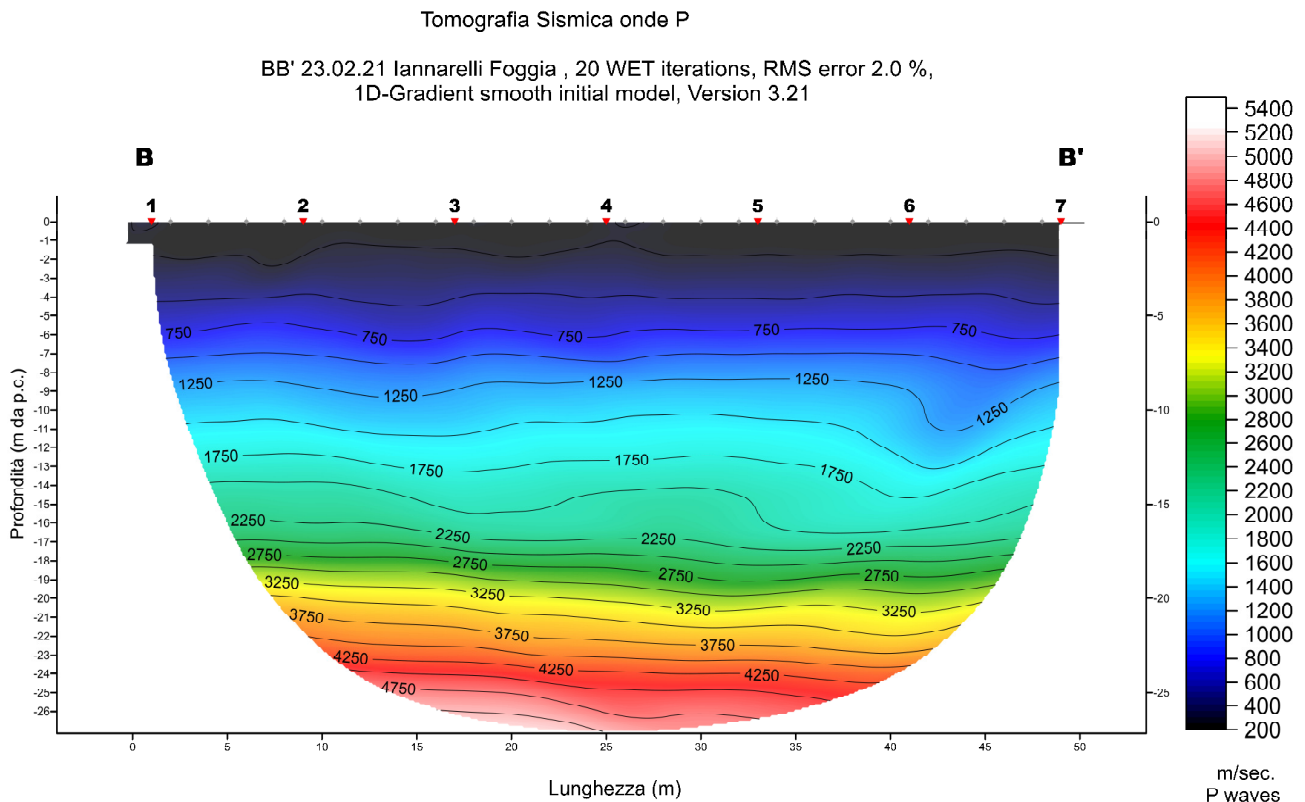
8.2 Stendimento BB'

Dal risultato dell'analisi sismica eseguita è possibile rilevare la presenza di **3 sismostrati** con differenti valori di velocità delle onde sismiche longitudinali P.

Il primo sismostrato (Sismostrato A), è caratterizzato da valori di velocità delle onde P compresi tra 100 e 250 m/s. La profondità risulta costante e si spinge fino a circa 1-1,5 metri di profondità dal piano campagna. Il sismostrato B invece, è caratterizzato da velocità delle onde P comprese tra 250 e 2250 m/s, che crescono in modo uniforme e continuo fino a raggiungere una profondità di circa 16 metri dal piano campagna. Il sismostrato C infine, è caratterizzato da valori di velocità delle onde P che aumentano gradualmente con la profondità fino a raggiungere la profondità investigata di circa 28 m dal p.c.

Assimilando i valori delle velocità di propagazione delle onde P alle litologie presenti nell'area come da indagini pregresse, in prima analisi si può affermare che il sismostrato superficiale è riferibile a depositi sabbioso e siltosi poco o debolmente coesi molto alterati (Unità A), il secondo sismostrato a depositi sabbioso-siltosi e siltosi debolmente coesi (Unità B), mentre il sismostrato C, è riferibile all'unità delle Argille subappennine.

Le acque di falda sembrano essere presenti a partire dai 10 metri di profondità e vengono sostenute alla base dalle argille subappennine.



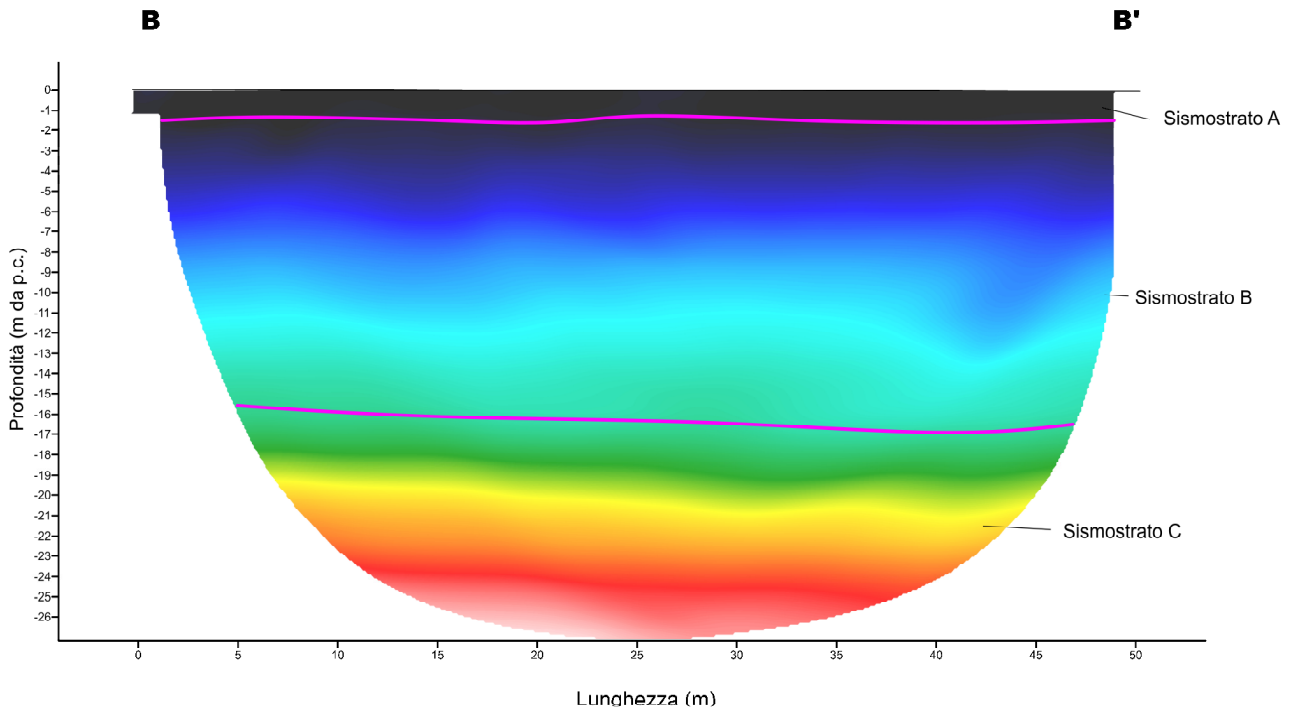


Fig. 8 – Interpretazione sezione tomografica del profilo BB'

8.3 Stendimento CC'

Dal risultato dell'analisi sismica eseguita è possibile rilevare la presenza di **3 sismostrati** con differenti valori di velocità delle onde sismiche longitudinali P.

Il primo sismostrato (Sismostrato A), è caratterizzato da valori di velocità delle onde P compresi tra 250 e 500 m/s. La profondità risulta costante e si spinge fino a circa 1 metro di profondità dal piano campagna. Il sismostrato B invece, è caratterizzato da velocità delle onde P comprese tra 500 e 1000 m/s, che crescono in modo uniforme e continuo fino a raggiungere una profondità di circa 6 metri dal piano campagna. Il sismostrato C infine, è caratterizzato da valori di velocità delle onde P che aumentano gradualmente con la profondità fino a raggiungere la profondità investigata di circa 11 m dal p.c. Assimilando i valori delle velocità di propagazione delle onde P alle litologie presenti nell'area come da indagini pregresse, in prima analisi si può affermare che il sismostrato superficiale è riferibile a depositi sabbioso e siltosi poco o debolmente coesi molto alterati (sismostrato A), il secondo sismostrato a depositi sabbioso-siltosi e siltosi debolmente coesi le cui caratteristiche migliorano con la profondità (sismostrato B), mentre il sismostrato C, è riferibile all'unità argillosa. In corrispondenza del Sismostrato B, l'andamento ondulato delle velocità sismiche permette di ipotizzare la presenza di variazioni granulometriche e di coesione che implicano la presenza di anisotropie laterali di facies litologiche.

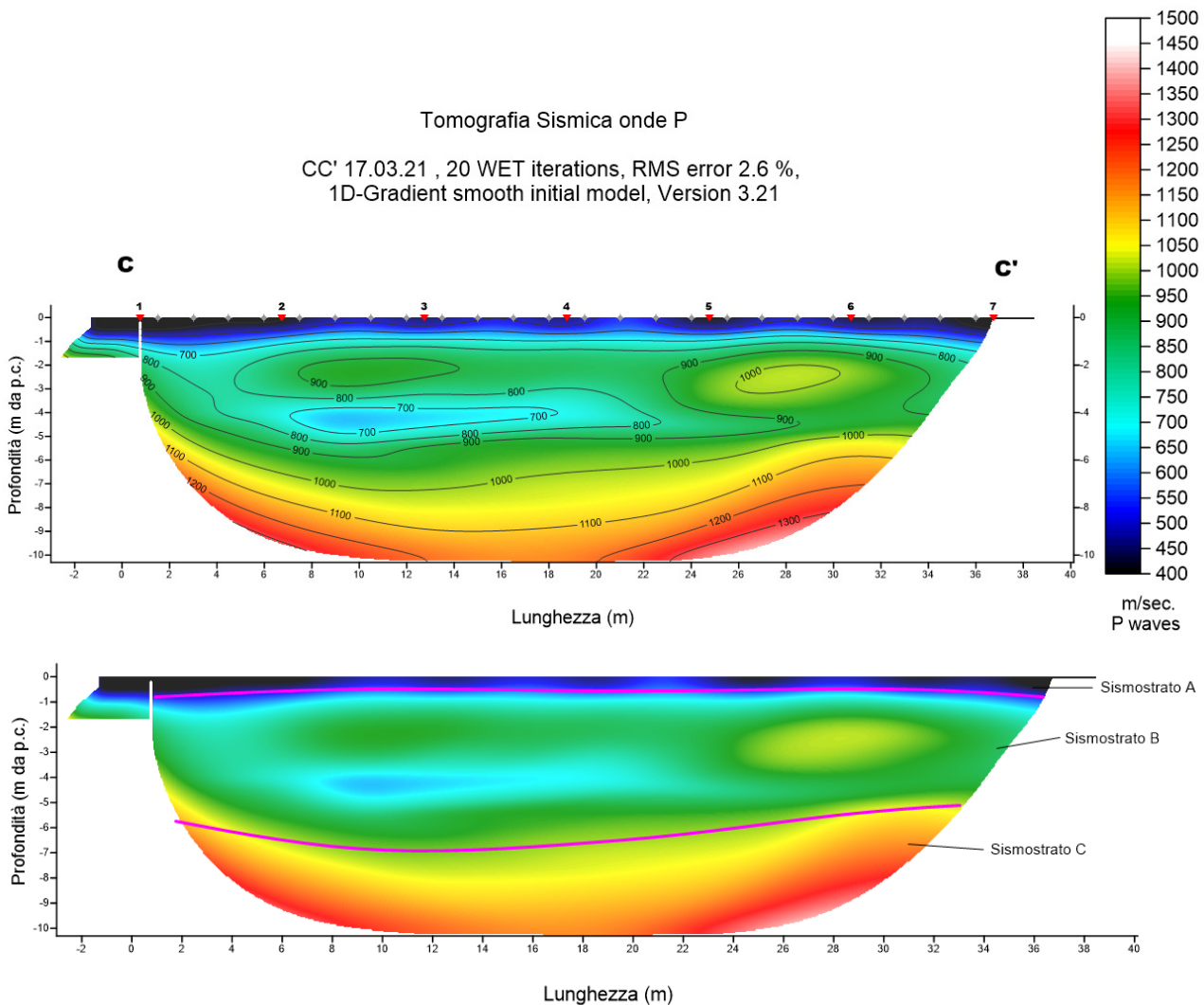


Fig. 9 – Interpretazione sezione tomografica del profilo CC'

8.4 Caratteri geologici sito specifici

L'analisi compiuta ed illustrata nei precedenti paragrafi permette di ricostruire con discreto dettaglio il modello geologico dei terreni interessati dall'installazione dei pannelli fotovoltaici e la realizzazione delle opere connesse e delle infrastrutture indispensabili alla sua costruzione e funzionalità.

In particolare, per quanto concerne l'area su cui saranno installati i pannelli fotovoltaici è possibile osservare che l'ammasso roccioso risulta costituito da unità litologiche generalmente sabbioso-siltose e argillose le cui caratteristiche geotecniche tendono a migliorare con l'aumento della profondità e che seguono la seguente successione litostratigrafica: l'unità superficiale (unità A) è riferibile a depositi di terreno vegetale molto alterati, che raggiungono 1 metro di profondità dal p.c.; la seconda unità (unità B) è riferibile a depositi sabbiosi e limosi moderatamente addensati a cui è possibile si intercalino livelli ghiaiosi e le cui caratteristiche migliorano con la profondità. In corrispondenza dell'unità B inoltre, l'andamento ondulado delle velocità sismiche permette di ipotizzare la presenza di variazioni granulometriche e di coesione che implicano la presenza di anisotropie laterali di facies litologiche.

La falda freatica presente si dovrebbe rinvenire tra 10-13 metri di profondità dal p.c..

Nella seguente immagine è rappresentato il modello geologico generale del sito su cui saranno installati i pannelli fotovoltaici.

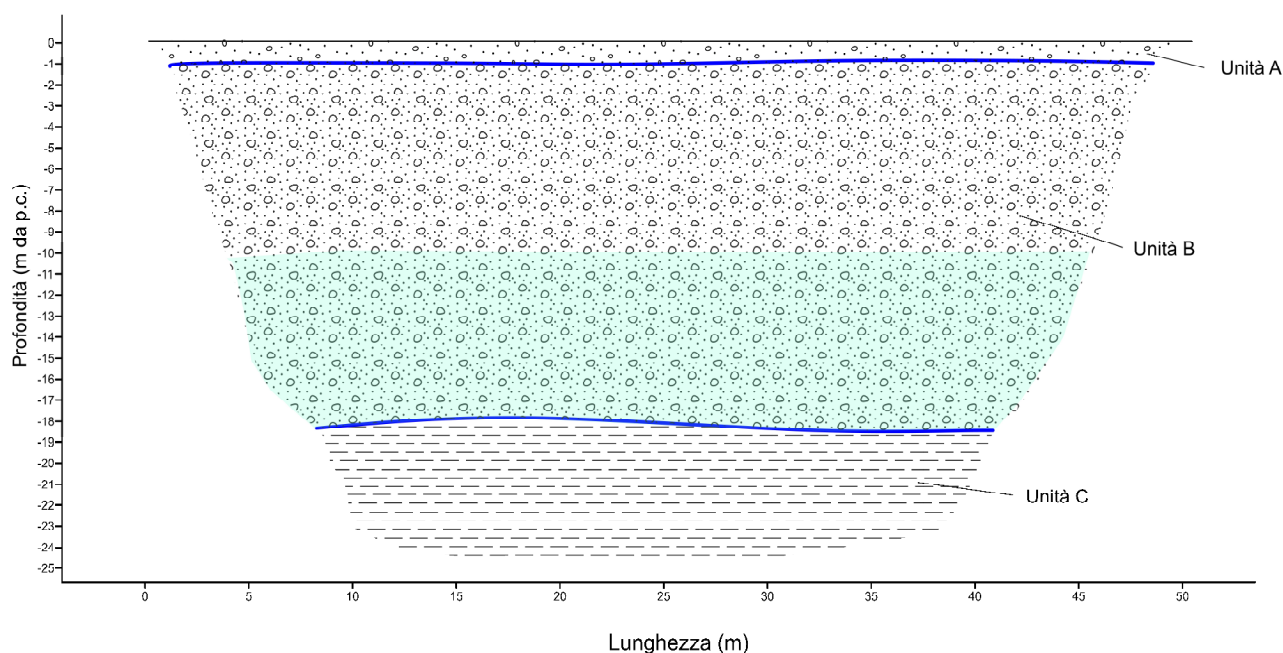


Fig. 10 - Modello geologico del sito su cui saranno installati i pannelli fotovoltaici.

Lo stesso modello litostratigrafico è presente in corrispondenza della sottostazione di servizio e lungo il tracciato dell'elettrodotto, opera che si svilupperà in sotterraneo a differenti profondità dal piano campagna in relazione agli attraversamenti ed alle perimetrazioni presenti nel PAI Puglia. A favore di sicurezza infatti, l'elettrodotto sarà installato ad una profondità di circa 2 metri al di sotto degli alvei dei torrenti attraversati ed in corrispondenza degli attraversamenti delle zone a pericolosità idraulica, conservando anche tale profondità in un'area buffer di circa 10 metri dalle su citate perimetrazioni PAI. Il piano di posa nelle zone non interessate da PAI sarà posizionato invece a circa 1,5 metri dal piano campagna.

9. Il modello geotecnico del sottosuolo

I risultati della prova eseguita sono stati elaborati per la definizione del modello geotecnico specifico della zona in cui è stata realizzata l'indagine. Sono stati infatti accorpate in intervalli "geotecnicamente" confrontabili i risultati specifici degli avanzamenti dei 20 cm lungo la verticale stratigrafica e definito quindi il modello geotecnico.

Nelle tabelle seguenti vengono illustrate le analisi compiute e sintetizzato il modello geotecnico di riferimento per il sito di indagine.

MODELLO GEOTECNICO SPT N° 1

Profondità prova:

10,00 mt

Falda:

non rinvenuta

Profondità (m)	Nr. Colpi	Calcolo coeff. riduzione sonda Chi	Res. dinamica ridotta (Kg/cm ²)	Res. dinamica (Kg/cm ²)	Pres. ammissibile con riduzione Herminier - Olandesi (Kg/cm ²)	Pres. ammissibile Herminier - Olandesi (Kg/cm ²)
0.20	2	0.855	16.61	19.44	0.83	0.97
0.40	2	0.851	16.54	19.44	0.83	0.97
0.60	2	0.847	16.46	19.44	0.82	0.97
0.80	6	0.843	49.17	58.31	2.46	2.92
1.00	6	0.840	45.30	53.94	2.26	2.70
1.20	6	0.836	45.11	53.94	2.26	2.70
1.40	6	0.833	44.92	53.94	2.25	2.70
1.60	6	0.830	44.75	53.94	2.24	2.70
1.80	6	0.826	44.57	53.94	2.23	2.70
2.00	6	0.823	41.31	50.18	2.07	2.51
2.20	6	0.820	41.15	50.18	2.06	2.51
2.40	6	0.817	41.00	50.18	2.05	2.51
2.60	6	0.814	40.86	50.18	2.04	2.51
2.80	6	0.811	40.72	50.18	2.04	2.51
3.00	6	0.809	37.94	46.91	1.90	2.35
3.20	6	0.806	37.81	46.91	1.89	2.35
3.40	6	0.803	37.69	46.91	1.88	2.35
3.60	6	0.801	37.57	46.91	1.88	2.35
3.80	6	0.798	37.45	46.91	1.87	2.35
4.00	6	0.796	35.06	44.04	1.75	2.20
4.20	6	0.794	34.96	44.04	1.75	2.20
4.40	6	0.791	34.86	44.04	1.74	2.20
4.60	6	0.789	34.76	44.04	1.74	2.20
4.80	6	0.787	34.67	44.04	1.73	2.20
5.00	6	0.785	32.58	41.50	1.63	2.08
5.20	6	0.783	32.50	41.50	1.62	2.08
5.40	6	0.781	32.42	41.50	1.62	2.08
5.60	6	0.779	32.34	41.50	1.62	2.08
5.80	6	0.777	32.26	41.50	1.61	2.08
6.00	8	0.775	40.57	52.32	2.03	2.62
6.20	8	0.774	40.48	52.32	2.02	2.62
6.40	8	0.772	40.39	52.32	2.02	2.62
6.60	8	0.770	40.31	52.32	2.02	2.62
6.80	8	0.769	40.22	52.32	2.01	2.62
7.00	8	0.767	38.07	49.62	1.90	2.48
7.20	8	0.766	37.99	49.62	1.90	2.48
7.40	8	0.764	37.92	49.62	1.90	2.48
7.60	8	0.763	37.84	49.62	1.89	2.48
7.80	8	0.761	37.77	49.62	1.89	2.48
8.00	8	0.760	35.85	47.18	1.79	2.36
8.20	8	0.759	35.79	47.18	1.79	2.36
8.40	10	0.757	44.66	58.97	2.23	2.95
8.60	10	0.756	44.58	58.97	2.23	2.95
8.80	10	0.755	44.51	58.97	2.23	2.95
9.00	10	0.753	42.35	56.21	2.12	2.81

Profondità (m)	Nr. Colpi	Calcolo coeff. riduzione sonda Chi	Res. dinamica ridotta (Kg/cm ²)	Res. dinamica (Kg/cm ²)	Pres. ammissibile con riduzione Herminier - Olandesi (Kg/cm ²)	Pres. ammissibile Herminier - Olandesi (Kg/cm ²)
9.20	10	0.752	42.29	56.21	2.11	2.81
9.40	10	0.751	42.22	56.21	2.11	2.81
9.60	10	0.750	42.16	56.21	2.11	2.81
9.80	10	0.749	42.09	56.21	2.10	2.81
10.00	10	0.748	40.15	53.70	2.01	2.68

In considerazione delle risultanze delle indagini svolte ed illustrate in precedenza, tenuto altresì conto del modello geologico inserito nella relazione geologica, sono stati definiti i principali parametri fisico meccanici che caratterizzano il modello geotecnico dei depositi indagati, come di seguito riportati:

LITOLOGIA (ORIZZONTE)	PROFONDITA' dal P.C. (mt)	PARAMETRI GEOTECNICI	CORRELAZIONE	VALORE
TERRENO VEGETALE (ORIZZONTE 1)	0,00 ÷ 0,60	=	=	=
DEPOSITO LIMO-SABBIOSO (ORIZZONTE 2)	0,60 ÷ 5,80	NSPT	=	9,02
		Coesione (C)	[Terzaghi-Peck]	0 (Kg/cmq)
		Angolo di attrito	[Sower 1961]	29°
		Modulo Elastico (di Young)	[Schmertmann (1978)]	72,16 (Kg/cmq)
		Modulo Edometrico	[Menzenbach e Malcev]	69,93 (Kg/cmq)
		Modulo di Poisson	A.G.I.	0,35
		Classificazione AGI (1977)	AGI (1977)	MODERATAMENTE ADDENSATO
		Peso unità di volume naturale (γ)	[Terzaghi-Peck 1948-1967]	1,47 (t/mc)
		Peso unità di volume saturo (γ_s)	[Terzaghi-Peck 1948-1967]	1,91 (t/mc)
		Coefficiente spinta a Riposo $K_0 = \sigma_H / \sigma_V$	[Navfac 1971-1982]	1,89
Falda superficiale dal p.c.	=	NON RILEVATA		
DEPOSITO SABBIOSO DEOLMENTE LIMOSO (ORIZZONTE 3)	5,80 ÷ 8,20	NSPT	=	12,03
		Coesione (C)	[Terzaghi-Peck]	0 (Kg/cmq)
		Angolo di attrito	[Sower 1961]	31°
		Modulo Elastico (di Young)	[Schmertmann (1978)]	96,24 (Kg/cmq)
		Modulo Edometrico	[Menzenbach e Malcev]	80,59 (Kg/cmq)
		Modulo di Poisson	A.G.I.	0,33
		Classificazione AGI (1977)	AGI (1977)	MODERATAMENTE ADDENSATO
		Peso unità di volume naturale (γ)	[Terzaghi-Peck 1948-1967]	1,50 (t/mc)
		Peso unità di volume saturo (γ_s)	[Terzaghi-Peck 1948-1967]	1,94 (t/mc)
		Coefficiente spinta a Riposo $K_0 = \sigma_H / \sigma_V$	[Navfac 1971-1982]	2,53
Falda profondità dal p.c.	=	NON RILEVATA		
DEPOSITO SABBIOSO CON PRESENZA DI TROVANTI E LIVELLI GHIAIOSI (ORIZZONTE 4)	8,20 ÷ 10,0	NSPT	=	15,04
		Coesione (C)	[Terzaghi-Peck]	0 (Kg/cmq)
		Angolo di attrito	[Sower 1961]	32°
		Modulo Elastico (di Young)	[Schmertmann (1978)]	120,32 (Kg/cmq)
		Modulo Edometrico	[Menzenbach e Malcev]	91,24 (Kg/cmq)
		Modulo di Poisson	A.G.I.	0,32
		Classificazione AGI (1977)	AGI (1977)	DA MODERATAMENTE ADDENSATO AD ADDENSATO

LITOLOGIA (ORIZZONTE)	PROFONDITA' dal P.C. (mt)	PARAMETRI GEOTECNICI	CORRELAZIONE	VALORE
		Peso unità di volume naturale (γ)	[Terzaghi-Peck 1948-1967]	1,54 (t/mc)
		Peso unità di volume saturo (γ_s)	[Terzaghi-Peck 1948-1967]	1,96 (t/mc)
		Coefficiente spinta a Riposo $K_0 = \text{SigmaH}/PO$	[Navfac 1971-1982]	3,13
		Falda superficiale dal p.c.	=	NON RILEVATA

Le fondazioni in corrispondenza del campo fotovoltaico saranno realizzate in corrispondenza dell'unità B (orizzonte 2), caratterizzato dai seguenti parametri geotecnici.

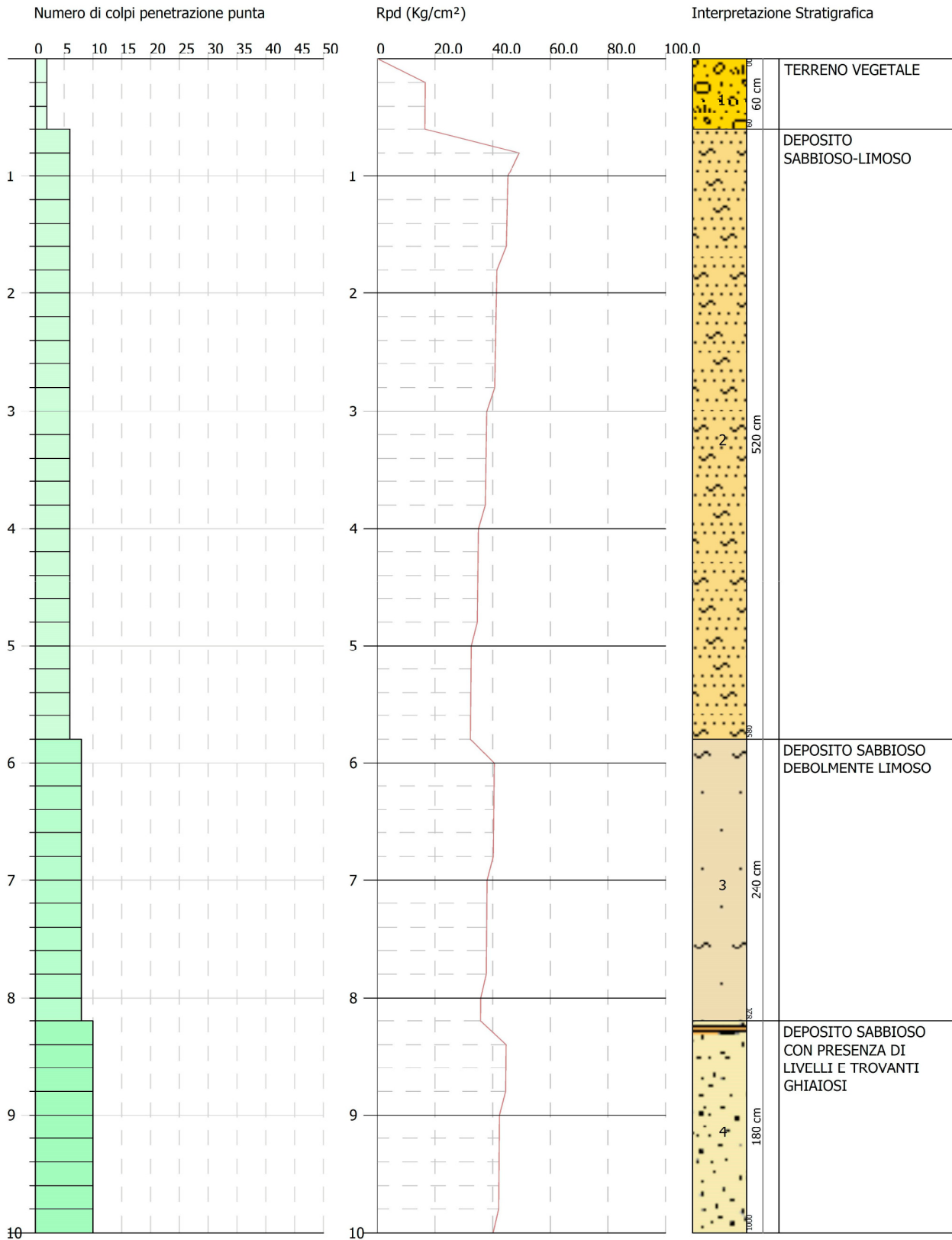
Strato	profondità	Peso unità di volume	k1x	k1y	k1z	Angolo di attrito	Coesione non drenata	Coesione efficace	Modulo Edometrico (*)	Modulo elastico (**)
	[m da p.c.]	[N/cmc]	[N/cmc]	[N/cmc]	[N/cmc]	[°]	[N/mm ²]	[N/mm ²]	[N/mm ²]	[N/mm ²]
Deposito limoso sabbioso	0.6 - 5.8	0.014416	10	10	20.48	29	0	0	6.85 - 60	90 - 3065

Le fondazioni in corrispondenza della sottostazione di servizio invece, saranno caratterizzate dai seguenti parametri geotecnici.

Strato	profondità	Peso unità di volume	k1x	k1y	k1z	Angolo di attrito	Coesione non drenata	Coesione efficace	Modulo Edometrico (*)	Modulo elastico (**)
	[m da p.c.]	[N/cmc]	[N/cmc]	[N/cmc]	[N/cmc]	[°]	[N/mm ²]	[N/mm ²]	[N/mm ²]	[N/mm ²]
Deposito limoso sabbioso	0.4 - 5.0	0.013827	35	35	100	28	0	0	5.29 - 60	283.90 - 1499

(*) da prova penetrometrica

(**) da prova geofisica riportata nella relazione geologica



10. Classificazione del sottosuolo di fondazione dei siti di progetto

Sulla base delle risultanze dell'indagine MASW condotte nell'area oggetto di studio, il sottosuolo di fondazione è stato classificato ai sensi delle normative che attualmente regolano il settore (Ordinanza della Presidenza del Consiglio dei Ministri n. 3274 del 20 marzo 2003, recepita dalla Regione Puglia nel marzo 2004; DGR Puglia 2 marzo 2004 e dalle modifiche allo stesso portate dal Consiglio dei ministri con ordinanza n.3431 del 03.05.2005, DM 17/01/2018).

L'indagine M.A.S.W. ha consentito la stima dei valori delle velocità medie delle onde sismiche di taglio e, da queste, le $V_{s,eq}$, utilizzando la seguente formula:

$$V_{s,eq} = \frac{H}{\sum_{i=1}^N \frac{h_i}{V_{s,i}}}$$

in cui $V_{s,i}$ e h_i indicano la velocità delle onde di taglio (in m/s) e lo spessore (in m) del sismostrato i-esimo per un totale di N sismostrati presenti.

10.1 Determinazione della categoria di sottosuolo dello stendimento AA'

Per l'acquisizione AA', sono stati ottenuti i seguenti risultati:

Numero di strati: 8

Profondità piano di posa: 2.0 m

Nr.	Spessore (m)	Velocità (m/s)
1	1.00	189
2	3.00	273
3	3.00	322
4	4.00	376
5	4.00	471
6	5.00	499
7	5.00	524
8	6.00	845

$V_{s,eq}$: 411.08 m/s

Categoria del suolo: B

Sulla base della $V_{s,eq}$ calcolata, è possibile assegnare il sottosuolo di fondazione alla **Categoria B - Rocce tenere e depositi di terreni a grana grossa molto addensati o terreni a grana fina molto consistenti, caratterizzati da un miglioramento delle proprietà meccaniche con la profondità e da valori di velocità equivalente compresi tra 360 m/s e 800 m/s.**

10.2 Determinazione della categoria di sottosuolo dello stendimento BB'

Per l'acquisizione BB', sono stati ottenuti i seguenti risultati:

Numero di strati: 8

Profondità piano di posa: 2.0 m

Nr.	Spessore (m)	Velocità (m/s)
1	2.00	174
2	3.00	220
3	3.00	268
4	4.00	325
5	4.00	325
6	5.00	382
7	5.00	485
8	6.00	714

$V_{s,eq}$: 369.24 m/s

Categoria del suolo: B

Sulla base della $V_{s,eq}$ calcolata, è possibile assegnare il sottosuolo di fondazione alla **Categoria B - Rocce tenere e depositi di terreni a grana grossa molto addensati o terreni a grana fina molto consistenti, caratterizzati da un miglioramento delle proprietà meccaniche con la profondità e da valori di velocità equivalente compresi tra 360 m/s e 800 m/s.**

10.3 Determinazione della categoria di sottosuolo dello stendimento CC'

Per l'acquisizione CC', sono stati ottenuti i seguenti risultati:

Numero di strati: 8 - Profondità piano di posa: 2.0 m

Nr.	Spessore (m)	Velocità (m/s)
1	2.00	255
2	3.00	289
3	3.00	320
4	4.00	425
5	4.00	489
6	5.00	560
7	5.00	714
8	6.00	911

$V_{s,eq}$: 425.38 m/s

Categoria del suolo: B

Sulla base della $V_{s,eq}$ calcolata, è possibile assegnare il sottosuolo di fondazione alla **Categoria B - Rocce tenere e depositi di terreni a grana grossa molto addensati o terreni a grana fina molto consistenti, caratterizzati da un miglioramento delle proprietà meccaniche con la profondità e da valori di velocità equivalente compresi tra 360 m/s e 800 m/s.**

11. Caratterizzazione elastica dei terreni di fondazione

Nei paragrafi precedenti sono state descritte le metodologie di esecuzione delle prove e l'interpretazione dei risultati delle indagini indirette realizzate per il presente studio che hanno permesso di ricostruire con sufficiente dettaglio la stratigrafia dei primi metri del sottosuolo. Nel dettaglio quindi saranno riportate due tabelle riassuntive delle principali caratteristiche elastiche dei sismostrati individuati, riferite alle zone dove sono state eseguite le indagini sismiche. I valori delle Vs sono stati ricavati in modo indiretto dalla prova MASW.

Sezione AA' - Tabella 1

Prof. (m da p.c.)	Unità	V _{Pi} (m/sec)	V _{Si} (m/sec)	g (gr/cm ³)	G ₀ (Kg/cm ²)	K (Kg/cm ²)	E (kg/cm ²)	M (kg/cm ²)	μ	V _p /V _s	IS (t*m ⁻² *sec ⁻¹)
0.00	A - TETTO	100.00	52.00	1.22	33.5	79.2	88.0	123.8	0.31	1.92	63.62
- 1,5/2.0	A - LETTO	250.00	189.00	1.46	526.4	219.2	877.0	921.0	-0.17	1.32	275.20
- 1,5/2.0	B - TETTO	250.00	189.00	1.46	526.4	219.2	877.0	921.0	-0.17	1.32	275.20
9.00	B - LETTO	1000.00	499.00	1.89	4775.2	12810.4	12742.2	19177.3	0.33	2.00	945.52

Sezione BB' - Tabella 2

Prof. (m da p.c.)	Unità	V _{Pi} (m/sec)	V _{Si} (m/sec)	g (gr/cm ³)	G ₀ (Kg/cm ²)	K (Kg/cm ²)	E (kg/cm ²)	M (kg/cm ²)	μ	V _p /V _s	IS (t*m ⁻² *sec ⁻¹)
0.00	A - TETTO	100.00	55.00	1.22	37.5	73.9	96.1	123.8	0.28	1.82	67.29
- 1,5/2.0	A - LETTO	250.00	174.00	1.46	446.2	326.1	919.3	921.0	0.03	1.44	253.35
- 1,5/2.0	B - TETTO	250.00	174.00	1.46	446.2	326.1	919.3	921.0	0.03	1.44	253.35
10.00	B - LETTO	1250.00	485.00	1.98	4706.3	24987.1	13284.9	31262.2	0.41	2.58	958.79

Sezione CC' - Tabella 3

Prof. (m da p.c.)	Unità	V _{Pi} (m/sec)	V _{Si} (m/sec)	g (gr/cm ³)	G ₀ (Kg/cm ²)	K (Kg/cm ²)	E (kg/cm ²)	M (kg/cm ²)	μ	V _p /V _s	IS (t*m ⁻² *sec ⁻¹)
0.00	A - TETTO	250.00	115.00	1.46	194.9	661.2	532.4	921.0	0.37	2.17	167.45
1.00	A - LETTO	500.00	255.00	1.66	1093.1	2745.2	2895.1	4202.7	0.32	1.96	423.56
1.00	B - TETTO	500.00	255.00	1.66	1093.1	2745.2	2895.1	4202.7	0.32	1.96	423.56
6.00	B - LETTO	1000.00	560.00	1.89	6014.0	11158.6	15294.3	19177.3	0.27	1.79	1061.10

Dove:

g = densità sismica calcolata mediante la seguente formula: $0.51 * V_p^{0.19}$; G₀ = Modulo di taglio; K = Modulo di volume; E = Modulo di Young; μ = Modulo di Poisson; IS = Impedenza sismica.

12. Sismicità dell'area

Per definire l'azione sismica di progetto si dovrebbe valutare l'effetto della risposta sismica locale mediante specifiche analisi da condurre in sito. In assenza di tali analisi comunque, per la definizione dell'azione sismica si può fare riferimento ad un approccio semplificato, che si basa sull'individuazione di categorie di sottosuolo di riferimento (Tab. 3.2.II e 3.2.III) e sulle condizioni topografiche. Nell'ambito del presente studio per definire l'azione sismica di progetto è stato utilizzato l'approccio semplificato, utilizzando la categoria di sottosuolo di fondazione desunta dalla prova sperimentale MASW eseguita nell'area di studio e utilizzando i parametri sismici definiti dai dati pubblicati sul sito dell'Istituto Nazionale di Geofisica e Vulcanologia (INGV, <http://esse1.mi.ingv.it/>).

12.1 Classificazione sismica

In base alla classificazione sismica dei comuni italiani di cui all'ordinanza n.3274 del 20 marzo 2003 (allegato 1 - Allegato A) il comune di Foggia viene classificato come Zona 2.

12.2 Categoria di sottosuolo e condizioni topografiche (D.M. 17/01/2018)

Ai fini della definizione dell'azione sismica di progetto, in assenza della valutazione della risposta sismica locale sulla base di analisi specifiche è possibile fare riferimento ad una metodologia semplificata basata sulle categorie di sottosuolo di riferimento (Tabella 3.2.II del D.M. 17/01/2018) e sulle categorie topografiche (Tabella 3.2.IV del D.M. 17/01/2018).

12.2.1 Categoria di sottosuolo di riferimento

Per la determinazione della categoria di sottosuolo di fondazione sono stati considerati i risultati delle indagini sismiche realizzate nei siti di progetto. Pertanto, sulla base delle risultanze delle indagini sismiche considerate, poiché il substrato sismico non risulta affiorante e presente nei primi 30 metri di profondità dal p.c., è possibile affermare che il profilo stratigrafico del suolo di fondazione delle opere in progetto ricada nella **categoria B: Rocce tenere e depositi di terreni a grana grossa molto addensati o terreni a grana fina molto consistenti, caratterizzati da un miglioramento delle proprietà meccaniche con la profondità e da valori di velocità equivalente compresi tra 360 m/s e 800 m/s.**

12.2.2 Condizioni topografiche

In relazione all'andamento morfologico locale con inclinazione del pendio $i \leq 15^\circ$ è possibile classificare il sito di interesse come categoria: T1 - superficie pianeggiante, pendii e rilievi isolati con inclinazione media $\leq 15^\circ$.

12.3 Pericolosità sismica di Base

Le Nuove Norme Tecniche per le Costruzioni (NTC) D.M. 17.01.2018 introducono il concetto di pericolosità sismica di base in condizioni ideali di sito di riferimento rigido con superficie topografica orizzontale.

La "pericolosità sismica di base", nel seguito chiamata pericolosità sismica, costituisce l'elemento di conoscenza primario per la determinazione delle azioni sismiche da applicare alle costruzioni e alle strutture connesse.

Allo stato attuale, la pericolosità sismica su reticolo di riferimento nell'intervallo di riferimento è fornita dai dati pubblicati sul sito dell'Istituto Nazionale di Geofisica e Vulcanologia (INGV, <http://esse1.mi.ingv.it/>).

Le NTC introducono il concetto di nodo di riferimento di un reticolo composto da 10751 punti in cui è stato suddiviso l'intero territorio italiano. Le stesse NTC forniscono, per ciascun nodo del reticolo di riferimento e per ciascuno dei periodi di ritorno T_r considerati nella pericolosità sismica, tre parametri:

- a_g = accelerazione orizzontale massima del terreno (espressa in g/10);

- F_0 = valore massimo del fattore di amplificazione dello spettro di accelerazione orizzontale;
- T^*_c = periodo di inizio del tratto a velocità costante dello spettro in accelerazione orizzontale.

Da un punto di vista normativo pertanto, la pericolosità sismica di un sito non è sintetizzata più dall'unico parametro (a_g), ma dipende dalla posizione rispetto ai nodi della maglia elementare del reticolo di riferimento contenente il punto in esame, dalla Vita Nominale e dalla Classe d'uso dell'opera. I punti del reticolo di riferimento riportati nella Tabella A1 delle NTC hanno un passo di circa 10 km e sono definiti in termini di Latitudine e Longitudine.

La rappresentazione grafica dello studio di pericolosità sismica di base dell'INGV, da cui è stata tratta la Tabella A1 delle NTC, è caratterizzata da una mappa di pericolosità Sismica del Territorio Nazionale, espressa in termini di accelerazione massima del suolo rigido (in g) in funzione della probabilità di eccedenza nel periodo di riferimento considerato.

Nella tabella seguente, per i vari Stati Limite, sono indicati i valori dei parametri a_g , F_0 e T^*_c , calcolati come media dei valori dei nodi della griglia di riferimento, utilizzando il foglio di calcolo pubblicato nel sito del Ministero Lavori Pubblici, per una costruzione di Classe d'uso II e Vita Nominale ≥ 50 anni.

Tabella: Parametri spettrali: Classe d'uso II - $V_N \geq 50$ anni

Latitudine (ED 50)	Longitudine (ED 50)	Stato limite	T_R (anni)	a_g [g]	F_0 [-]	T^*_c [s]
41.559146	15.511247	SLO	30	0,051	2.417	0.292
41.559146	15.511247	SLD	50	0,066	2.496	0.304
41.559146	15.511247	SLV	475	0.169	2.522	0.361
41.559146	15.511247	SLC	975	0.220	2.503	0.377

12.4 Accelerazione massima attesa in superficie

In assenza di analisi specifiche della risposta sismica locale è possibile valutare l'accelerazione massima attesa al sito mediante la relazione:

$$a_{max} = S_S \cdot S_T \cdot a_g$$

in cui:

S_S , è il coefficiente che tiene conto dell'effetto dell'amplificazione stratigrafica;

S_T , è il coefficiente che tiene conto dell'effetto dell'amplificazione topografica;

a_g è l'accelerazione orizzontale massima su suolo di categoria A,

nel caso in esame, potrà essere assunto:

S_S (Amplificazione stratigrafica) = 1.20 (SLO) – 1.20 (SLD) – 1.20 (SLV) – 1.18 (SLC);

C_c (Coeff. Funzione categoria) = 1.41 (SLO) – 1.40 (SLD) – 1.35 (SLV) – 1.34 (SLC).

$S_T = 1.00$ (categoria topografica T1);

$a_g = 0.051$ g (SLO) - 0.066 g (SLD) – 0.169 g (SLV) – 0.220 g (SLC).

Sulla base dei dati sopra riportati risulta pertanto che A_{max} in funzione degli SL varia nella seguente maniera:

- **A_{max} (SLO) = $S_S \cdot S_T \cdot a_g = 1.20 \cdot 1.41 \cdot 0.051$ g = **0.596 m/s²**;**
- **A_{max} (SLD) = $S_S \cdot S_T \cdot a_g = 1.20 \cdot 1.40 \cdot 0.066$ g = **0.772 m/s²**;**
- **A_{max} (SLV) = $S_S \cdot S_T \cdot a_g = 1.20 \cdot 1.35 \cdot 0.169$ g = **1.985 m/s²**;**
- **A_{max} (SLC) = $S_S \cdot S_T \cdot a_g = 1.18 \cdot 1.34 \cdot 0.220$ g = **2.546 m/s²**.**

I coefficienti sismici inoltre, sono riportati nella seguente tabella:

	Kh [-]	Kv [-]	β [-]
SLO	0,012	0,006	0,200
SLD	0,016	0,008	0,200
SLV	0,049	0,024	0,240
SLC	0,073	0,036	0,280

Dove Kh e Kv sono i coefficienti sismici orizzontale e verticale desunti dalle seguenti relazioni:

$$K_h = \beta \cdot A_{\max}/g;$$

$$K_v = 0.5 \cdot K_h.$$

13. Considerazioni conclusive

Lo studio compiuto ha consentito di inquadrare l'area di progetto dal punto di vista geologico, idrogeologico, geomorfologico, geotecnico e sismico e definire la **compatibilità geologica e geotecnica dell'intervento nei confronti dei terreni in cui esso sarà inserito in relazione alle destinazioni e alle trasformazioni d'uso del suolo collegate alla realizzazione dell'intervento stesso.**

Per quanto concerne l'area su cui saranno installati i pannelli fotovoltaici è possibile osservare che l'ammasso roccioso risulta costituito da unità litologiche generalmente sabbioso-siltose e argillose le cui caratteristiche geotecniche tendono a migliorare con l'aumento della profondità e che seguono la seguente successione litostratigrafica:

l'unità superficiale (unità A) è riferibile a depositi di terreno vegetale molto alterati, che raggiungono 1 metro di profondità dal p.c.; la seconda unità (unità B) è riferibile a depositi sabbiosi e limosi moderatamente addensati a cui è possibile si intercalino livelli ghiaiosi e le cui caratteristiche migliorano con la profondità. In corrispondenza dell'unità B inoltre, l'andamento ondulado delle velocità sismiche permette di ipotizzare la presenza di variazioni granulometriche e di coesione che implicano la presenza di anisotropie laterali di facies litologiche. Lo stesso modello litostratigrafico è presente in corrispondenza della sottostazione di servizio e lungo il tracciato dell'elettrodotto, opera che si svilupperà in sotterraneo a differenti profondità dal piano campagna in relazione agli attraversamenti ed alle perimetrazioni presenti nel PAI Puglia. A favore di sicurezza infatti, l'elettrodotto sarà installato ad una profondità di circa 2 metri al di sotto degli alvei dei torrenti attraversati ed in corrispondenza degli attraversamenti delle zone a pericolosità idraulica, conservando anche tale profondità in un'area buffer di circa 10 metri dalle su citate perimetrazioni PAI. Il piano di posa nelle zone non interessate da PAI sarà posizionato invece a circa 1,5 metri dal piano campagna.

La falda freatica presente si dovrebbe rinvenire tra 10-13 metri di profondità dal p.c..

Si fa tuttavia presente la possibilità di rinvenimento di limitate e poco estese falde sospese presenti nelle sacche sabbiose. A seguito delle indagini sismiche effettuate inoltre, sono state riscontrate velocità delle Vs eq rispettivamente di 411.08 m/s, 369.24 m/s e 425,38 m/s, pertanto è possibile definire quanto segue:

- il suolo di fondazione è attribuibile alla **categoria B** (O.P.C.M. n.3274/del 20.03.2003, Norme Tecniche sulle Costruzioni del 17/01/2018).

La panoramica delle considerazioni tecniche effettuate quindi, permette di concludere che i siti di progetto, ossia il campo fotovoltaico e la sottostazione di servizio, in relazione alla tipologia delle opere previste, siano idonei dal punto di vista geologico e geotecnico alla realizzazione dell'opera e delle strutture ad essa connesse.

Alberobello, 12.01.2022

Dott. Geol. Giorgio De Giorgio

